

東海大学大学院 学生員 ○ 緋貫 啓  
水産工学研究所 正会員 木村晴保

## 1. はじめに

浅海域における内部波の挙動は、物理的、生物的に見て重要な現象であり、密度成層をなす閉鎖性湾の海水交流を論じる上で、内部波の知識は不可欠である。本稿では、斜面上の二層界面長波の基本式を誘導し、底勾配の一様な閉鎖性湾や湖における界面静振の特性を調べ、実験でその妥当性を検討する。

## 2. 理論

Fig.1に示す自由表面を持つ二層流体を考える。流体は理想流体とし、波長は上、下層の厚さに比べ十分大きく、水粒子速度の鉛直成分は、水平成分に比べ無視する。また、地球の自転の影響も無視すると、表面長波と同様扱いから、運動方程式((1),(2)式)、連続の方程式((3),(4)式)を得る。

$$\text{上層: } \rho_1 U_{1t} = -\rho_1 g, \quad \rho_1 = -\rho_1 g \quad \text{---(1)}$$

$U$ : 水粒子速度の水平成分  $\rho$ : 密度  $P$ : 圧力

$$\text{下層: } \rho_2 U_{2t} = -\rho_2 g, \quad \rho_2 = -\rho_2 g \quad \text{---(2)}$$

$g$ : 重力加速度  $h$ : 層の厚さ

$$\text{上層: } (\zeta_1 - \zeta_2)_t + h_1 U_{1x} = 0 \quad \text{---(3)}$$

添字1, 2は各々上層、下層を示す。

$$\text{下層: } \zeta_{2t} + (U_2 h_2)_x = 0 \quad \text{---(4)}$$

$\zeta$ : 表面変位  $\zeta_2$ : 界面変位

境界条件  $z = h_1 + \zeta_1$  で  $P = 0$ ,  $z = \zeta_2$  で  $P_1 = P_2$  と仮定  $\zeta_1 \ll \zeta_2 \ll h_1 \& h_2$ ,  $P_1/P_2 \approx 1$  のもとで(1)~(4)式を整理し、二層界面長波の基本式(5)を得る。

$$\Delta \rho g h_2 (\zeta_{1xxx}) - h_2 (\zeta_{1xxt}) - h_1 (\zeta_{1xxt}) = 0 \quad \text{---(5)}$$

但し、 $\Delta \rho = (\rho_2 - \rho_1)/\rho_2$

次にFig.2に示す水路幅が一定で、 $h_2 = h_0 - \alpha x$  の一様な斜面上

の界面静振を考える。このとき、(5)式は  $\zeta_{1x} = g(x)e^{-i\omega t}$  と置き次式を得る。

$$(X' - A) \delta_{xx'} + (C X' - B) \delta = 0 \quad \text{---(6)}$$

但し、 $X' = x/l$ ,  $A = h_0/\ell d$ ,  $B = (\ell \sigma^2 / \Delta \rho g d)(1 + h_0/h_1)$ ,  $C = \ell^2 \sigma^2 / \Delta \rho g h_1$

$\ell$ : 水路長  $\alpha$ : 斜面勾配  $\sigma$ : 角周波数

(6)式で  $x' = 0$  ( $x = 0$ ) で  $\delta = 0$ ,  $x' = l$  ( $x = \ell$ ) で  $\delta = 0$  の境界条件を満たすのが界面静振のモード周波数( $\omega_m$ )である。前者の条件を満たす解は、

$$\delta(X', \sigma) = \sum_{n=1}^{\infty} a_n X'^n \quad \text{---(7)}$$

但し、 $a_1 = \text{任意定数}$ ,  $a_2 = 0$ ,  $a_3 = -B a_1 / 6A$ ,  $a_m = \{(m-1)(m-2)a_{m-1} - B a_{m+1}\} / n(n-1)A$

よって、 $\delta(l, \omega_m) = 0$  を満足する $\omega_m$ を求めるべし。上下層の水深比をパラメータにして斜面勾配とモード周波数との関係をFig.3に示した。下層水深が一定の水路におけるモード周期は、 $\ell \alpha / h_0 = 0$  に対応する横軸の  $\ell \sigma / \sqrt{\Delta \rho g h_0}$  より求められる。

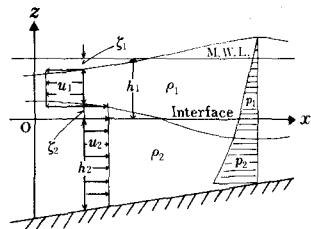


Fig. 1

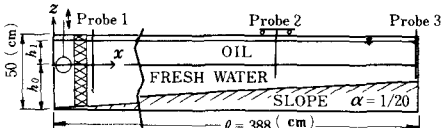


Fig. 2

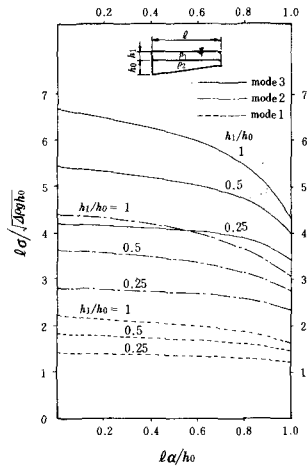


Fig. 3

### 3. 実験と結果

実験水槽(Fig.2)は透明アクリル製で、流体は石油(比重0.786)と淡水を用いた。造波装置は界面部で円筒を上下に動かすプランジャー型で、周期は2~30秒まで変えられる。

実験は、 $ld/h_0 = A^2 = 0.746, 0.882, 1.0$ の3ケースについて各々モード1~3まで行なった。各ケースとも  $h_1/h_0 = 0.5$  である。

界面変動量( $\Delta\xi$ )は容量式波高計3台で測定し、1台は移動可能とした。Fig.4はストロークを一定とし、周期のみを変化させたときの、Fig.2右端(以下最浅部と呼ぶ)における界面および表面の変動量をプロットしたもので、矢印は、Fig.3から求めたモード周期を示す。

Fig.5,6は、 $T=11.83\text{ sec}$ における水槽の長手方向の界面変動量分布と流速分布を示す。流速は、上下層の浮遊物の一周期あたりの移動距離から求めた。以上の実験から次のことが明らかになった。

i) 界面変動量は、 $A^2=1.0$ のケースを除いて、理論から求めたモード周期でピークとなつた。 $A^2=1.0$ のケースでは、7~10%短かい周期でピークとなつた。

ii) 節の位置、腹での波高、流速分布は、 $A^2=1.0$ のケースを除き、ほぼ理論に一致した。節での波高は0でではなく、 $ld/h_0$ の値が大きく、モード数が高いほど大きくなつた。

iii)  $A^2=0.882, 1.0$ のケースでは、最浅部で短波長の新たな波動が生じた。特に後者のモード3では、界面波のフロントが斜面上を遡上し、鉛直壁で反射する際に、波高0.9cm、波長10cm程度の波が2~3波生じ、造波機側へ伝播するのが観察された。

一様斜面上の界面静振の特徴は、

- i)  $ld/h_0 = \text{const.}$ で同じモードの界面静振は、 $h_1$ が増加すると周期が短くなる(Fig.3)。
- ii) モード数Mの周波数は、基本モードのM倍にならない(Fig.3)。
- iii) 節の位置は、下層水深一定の重複波に比べ浅部へ移り(Fig.5)、 $u_1$ の最大は節で生じるが、 $u_2$ の最大は節の位置よりさらに浅部に移る(Fig.6)。そのため節より浅部でシアーは最大となる。この傾向は特にモード1で顕著である。

### 4. むすび

理論と実験から、斜面上の界面静振の特徴が明らかになった。今後はさらに、水路幅が変化する場合や、躍層の厚さが無視できない場合など、より現実的なモデルについて検討をする。

(参考文献)

富永政英(1976) 海洋波動 第10章、第11章

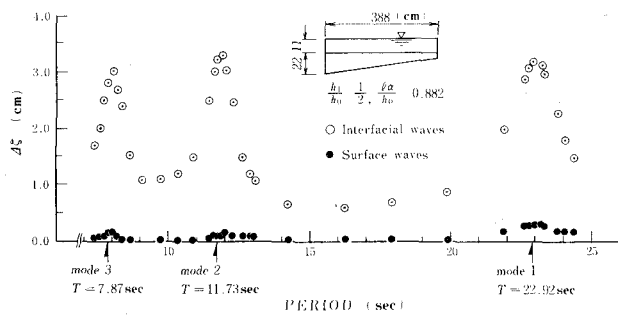


Fig. 4

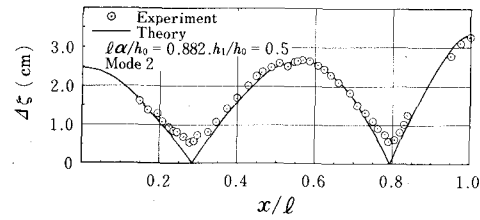


Fig. 5

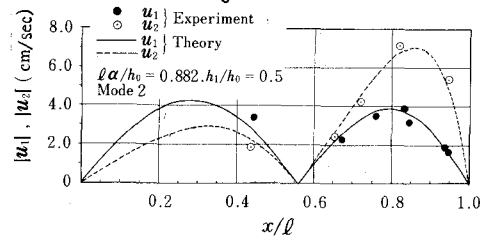


Fig. 6